

формации и коэффициент вязкости определялись по наклону участков кривой при $x < 10$ мм. Массовая скорость за фронтом волны 200 м/с.

В табл. 2 приведены значения коэффициентов вязкости, определенные различными методами при $T = 20^\circ\text{C}$. По результатам квазистатических испытаний III, по скоростной зависимости откольной прочности V и по затуханию упругого предвестника VI значения коэффициентов близки (результаты, полученные одинаковыми методами, представлены в группах строк I—VI).

Поступила 11 XII 1980

ЛИТЕРАТУРА

1. Степанов Г. В. Модель механического поведения металлических материалов при действии нагрузок импульсного характера.— Проблемы прочности, 1978, № 5.
2. Работнов Ю. И. Теория ползучести.— В кн.: Механика в СССР за 50 лет. Т. 3. М.: Наука, 1972.
3. Weertman J. High velocity dislocations.— In: Response of metals to high velocity deformation. N. Y.—L.: Interscience Publ., 1961.
4. Campbell J. D., Fergusson W. G. The temperature and strain — rate dependence of the shear strength of mild steel.— Rhilos. Mag., 1970, vol. 21, N 1.
5. Степанов Г. В. Упругопластическое деформирование материалов под действием импульсных нагрузок.— Киев: Наукова думка, 1979.
6. Степанов Г. В., Астанин В. В. Испытание металлов на ударное сжатие с высокой скоростью.— Проблемы прочности, 1980, № 2.
7. Hauser F. E. Techniques for measuring stress — strain relation at high strain rates.— Exp. Mech., 1966, N 8.
8. Степанов Г. В. Распространение плоских волн в вязкопластичном материале с линейным упрочнением.— Проблемы прочности, 1975, № 8.
9. Arvidsson T. E., Gupta Y. M., Duval G. E. Precursor decay in 1060 aluminium.— J. Appl. Phys., 1975, vol. 46, N 10.
10. Попов С. М. Абсолютная вязкость стали.— Инженерный сб., 1941, № 1.
11. Захаренко И. Д., Мали В. И. Вязкость металлов при сварке взрывом.— В кн.: Горение и взрывы. М.: Наука, 1972.
12. Минеев В. Н., Зайдель Р. М. Вязкость воды и ртути при ударном нагружении.— ЖЭТФ, 1968, т. 54, № 6.
13. Минеев В. Н., Савинов Е. В. Вязкость и температура плавления алюминия, свинца и хлористого натрия при ударном сжатии.— ЖЭТФ, 1967, т. 52, № 3.
14. Степанов Г. В. Взаимосвязь сопротивления деформации при одноосном напряженном состоянии и разрушающих напряжений при отколе для металлов.— Проблемы прочности, 1979, № 12.
15. Степанов Г. В. Испытание на растяжение с высокой скоростью металлических листовых материалов.— Проблемы прочности, 1980, № 7.

УДК 620.178.7

ИССЛЕДОВАНИЕ ОСЕВОГО ДИНАМИЧЕСКОГО СЖАТИЯ ТРУБЧАТЫХ МЕТАЛЛИЧЕСКИХ КРЕШЕРОВ

Б. В. Багрянов, Г. А. Касаков, С. А. Новиков, В. А. Синицын

(Москва)

При исследовании динамической прочности конструкций и материалов нагружение объектов испытаний обычно осуществляется прямоугольными или трапецидальными импульсами давления. При этом их амплитуда и длительность действия варьируются в широких пределах. Такой нагружающий импульс давления можно получить при ударном нагружении через специальный демпфер, у которого зависимость усилия от величины сжатия имеет участок, где сжимающее усилие постоянно. Примером материала такого демпфера может служить пенополиэтилен [1—3]. Однако широкому использованию пенополиэтилена для этих целей препятствуют нестабильность его прочностных характеристик, ухудшающая воспроизводимость результатов испытаний, и сравнительно малая прочность, ограничивающая уровень создаваемых нагрузок. В этом отношении более универсальными возможностями обладают трубчатые крешеры при их осевом сжатии.

В работе [4] приводятся результаты статических испытаний крещеров, изготовленных из тонкостенных (отношение толщины стенки h к радиусу срединной поверхности $R < 0,05$) алюминиевых трубок. Результаты статических и динамических испытаний трубчатых крещеров, изготовленных из поливинилхлорида, приведены в работе [5]. Оба типа крещеров деформировались сходным образом. Процесс осевого сжатия сопровождался потерей устойчивости в малом с образованием осесимметричных и неосесимметричных складок [6]. Усилие сжатия крещера в процессе образования складок изменялось, колеблясь около некоторого среднего значения.

В данной работе приводятся результаты динамических испытаний трубчатых крещеров, изготовленных из стандартных труб (ГОСТ 1947-56; алюминиевые сплавы АД1М, АМцМ, АМг6М, Д16Т). Размеры испытанных крещеров (чаружный диаметр d , толщина стенки h , длина l , относительная толщина стенки h/R) и некоторые справочные характеристики трубок, из которых они изготавливались (предел текучести $\sigma_{0,2}$ и временное сопротивление σ_b), приведены в таблице, где даны также некоторые деформационные характеристики крещеров, полученные при обработке результатов экспериментов по динамическому сжатию крещеров: среднее усилие N_{cp} сжатия крещера на участке диаграммы сжатия без резко выраженного упрочнения, максимальная деформация крещера в экспериментах ε_m , величина относительного изменения усилия сжатия на рабочем участке диаграммы сжатия $\Delta N_1/2N_{cp}$, величина относительной амплитуды колебаний усилия сжатия крещера при образовании складок $A_m/2N_{cp}$.

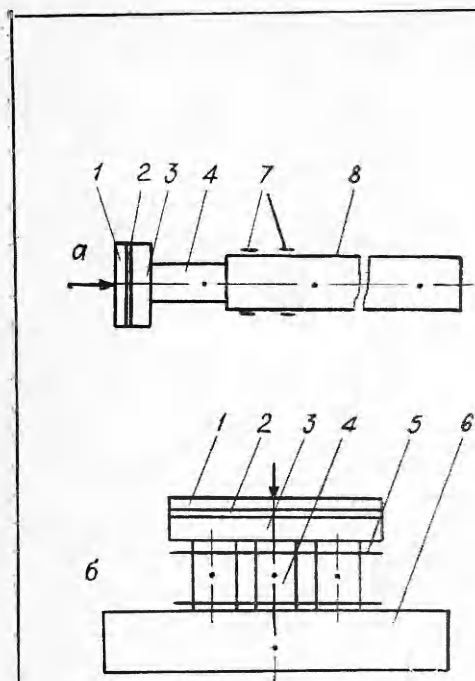
Длина крещеров l выбиралась из условия сохранения ими устойчивости в большом * в закритической области деформирования. Для исследованных крещеров экспериментально было найдено, что устойчивость в большом они не теряют при $l/R \leq 8-10$.

Деформационные характеристики крещеров определялись как по результатам экспериментов с непрерывной записью сжимающего усилия по методике мерного стержня [7] (фиг. 1, а), так и по результатам опытов, в которых измерялась остаточная деформация крещеров после снятия нагрузки, а усилие сжатия определялось расчетным путем (фиг. 1, б).

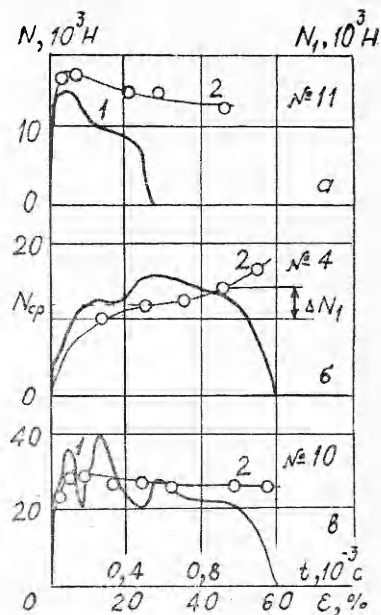
В экспериментах деформирование крещера 4 осуществлялось при ударе по его торцу металлической пластины 3, разгоняемой взрывом помещенного на ней заряда взрывчатого вещества (ВВ) 1. Для предотвращения откола в ударнике 3 между ним и зарядом ВВ помещалась тонкая демпфирующая прокладка 2. Другим торцом крещер опирался либо на

Номер крещера	$\varnothing d \times h \times l, 10^{-3} \text{ м}$	h/R	Материал	$10^7 \frac{\sigma_{0,2}}{\text{H/m}^2}$	$10^7 \frac{\sigma_b}{\text{H/m}^2}$	$N_{cp}, 10^3 \text{ H}$	$\varepsilon_m, \%$	$\frac{\Delta N_1}{2N_{cp}}$	$\frac{A_m}{2N_{cp}}$
1	$\varnothing 6 \times 1 \times 20$	0,40	АД1М	—	≤ 12	3,0	70	0,22	—
2	$\varnothing 8 \times 1 \times 30$	0,29				3,3	70	0,08	—
3	$\varnothing 14 \times 1 \times 50$	0,45				5,0	—	—	0,28
4	$\varnothing 16 \times 2 \times 65$	0,29				12,5	55	0,20	0,08
5	$\varnothing 8 \times 1 \times 30$	0,29	АМцМ	—	≤ 13	4,4	70	0,07	—
6	$\varnothing 10 \times 1 \times 40$	0,22				6,2	70	0,04	—
7	$\varnothing 10 \times 2 \times 40$	0,50				Упрочнение			
8	$\varnothing 13,5 \times 1,75 \times 50$	0,30	АМг6М	≥ 15	≥ 32	26,0	—	—	0,45
9	$\varnothing 14 \times 1 \times 50$	0,45				11,0	—	—	0,40
10	$\varnothing 20 \times 1,5 \times 80$	0,16				27,5	60	0	0,40
11	$\varnothing 10 \times 1 \times 40$	0,22	Д16Т	≥ 26	≥ 42	Разрушение			

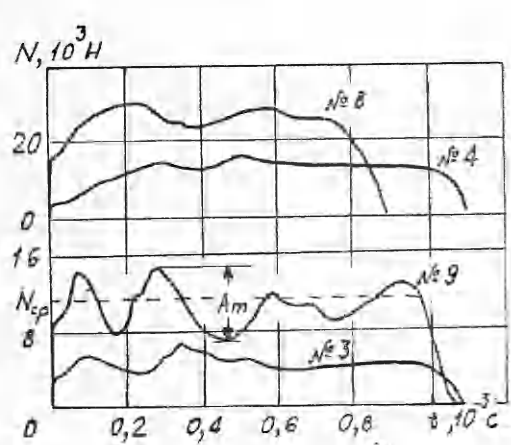
* Эйлерова форма потери устойчивости.



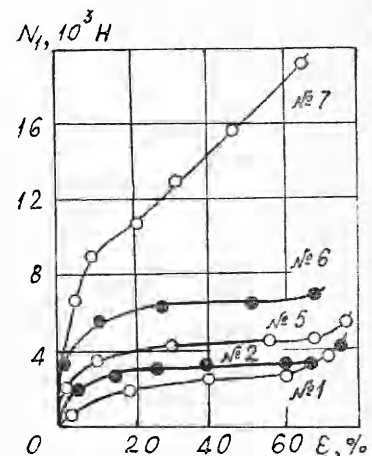
Ф и г. 1.



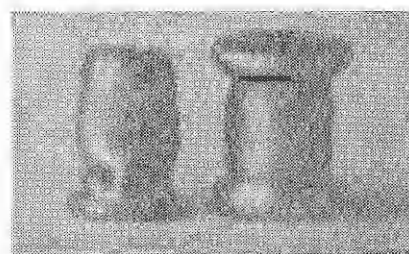
Ф и г. 2



Ф и г. 3



Ф и г. 4



Ф и г. 5

неподвижное основание 6, либо на мерный стержень 8. При нагружении в одном эксперименте нескольких креперов для фиксирования их взаимного расположения применялись тонкие картонные прокладки 5. Деформация мерного стержня в экспериментах измерялась с помощью тензорезисторов 7.

Полученные по методике мерного стержня зависимости усилия сжатия N от времени t для различных трубчатых креперов представлены на фиг. 2 (кривые 1) и 3.

В другом использованном в данной работе способе определения деформационных свойств трубчатых креперов усилие сжатия находилось расчетным путем по известной кинетической энергии ударника E (в опытах измерялась скорость ударника) и измеренной после опыта деформации креперов $\Delta l = \varepsilon l$ по формуле [3] $N_1 = E/\varepsilon l$. При этом делалось два допущения: вся кинетическая энергия ударника идет на сжатие креперов; на исследованном в каждом опыте участке диаграммы сжатия креперы сжимаются при действии постоянного усилия.

Последовательно изменяя в экспериментах величину деформации креперов, можно достаточно точно построить усредненную (интегральную) диаграмму сжатия трубчатых креперов $N_1 = f(\varepsilon)$ (фиг. 2, кривые 2, фиг. 4). Точки на кривых $N_1 = f(\varepsilon)$ соответствуют максимальной деформации креперов в последовательно проводившихся экспериментах. Вид деформированных креперов показан на фиг. 5.

Различные трубчатые креперы как материал для ударного демпфера удобно сравнивать по следующим их характеристикам, приведенным в таблице и на фиг. 2—4 (на фигурах указаны номера креперов из таблицы): ε_m , N_{cp} , $\Delta N_1/2N_{cp}$, $A_m/2N_{cp}$.

На практике величина максимальной деформации крепера на рабочем участке диаграммы сжатия ε_m лимитируется заданием допустимой величины относительного изменения усилия сжатия.

Все указанные характеристики трубчатых креперов зависят от механических свойств материала крепера и от относительной толщины его стенки. Результаты испытаний трубчатых креперов из алюминиевых сплавов на осевое динамическое сжатие позволяют сделать несколько полезных для практики выводов.

1. Относительная амплитуда колебаний усилия осевого сжатия меньше у креперов, изготовленных из более мягких сплавов. У этих же креперов наблюдается хорошее совпадение диаграмм сжатия, полученных с помощью мерного стержня и расчетно по максимальному сжатию (см. фиг. 2, б).

2. Относительная амплитуда колебаний усилия осевого сжатия трубчатых креперов уменьшается с ростом относительной толщины стенки (см. фиг. 3).

3. У креперов с толщиной стенки $h/R > 0,4$ наблюдается заметное увеличение сжимающего усилия (упрочнение) с ростом деформации (фиг. 4, крепер 7).

4. У креперов с толщиной стенки $h/R < 0,3$ наблюдается две формы потери устойчивости в малом: сначала у торца, противоположного нагруженному, образуется осесимметричная кольцевая складка, затем — ромбовидные складки (фиг. 5, а). У креперов с $h/R > 0,3$ образуются только кольцевые складки (фиг. 5, б). У креперов из закаленного сплава Д16Т в процессе деформирования ($\varepsilon > 20\%$) стенка трескается по образующей и усилие сжатия уменьшается (фиг. 2, а).

Поступила 11 XI 1980

ЛИТЕРАТУРА

- Батьков Ю. В., Бодренко С. И. и др. Взрывной метод калибровки пьезоэлектрических акселерометров с использованием пористых демпферов.— В кн.: Доклады I Всесоюз. симпозиума по импульсным давлениям. Т. 1. М.: ВНИИФТРИ, 1974.
- Абашкин Б. И., Забирев И. Х., Русин В. Г. Динамическая сжимаемость цепнополистирола.— Механика полимеров, 1977, № 1.

3. Крысанов Ю. А., Новиков С. А. Исследование динамического сжатия пенополистирола.— ПМТФ, 1977, № 8.
4. Pugsley A. and Macaulay M. The large-scale crumpling of thin cylindrical columns.— Quart. Journ. Mech. and Applied Math., 1960, vol. 13, pt 1.
5. Soden P. D., Al-Hassani S. T. S. and Johnson W. The crumpling of polyvinylchloride tubes under static and dynamic axial loads.— Institute of Physics Conf. Ser. 1974, N 21.
6. Вольмир А. С. Устойчивость упругих систем. М.: Физматгиз, 1963.
7. Кольский Г. Исследование механических свойств материалов при больших скоростях нагружения.— Механика, 1950, вып. 4.

УДК 539. 4.; 539.379

МОДЕЛЬ ДЛИТЕЛЬНОЙ ПРОЧНОСТИ С НЕМОНОТОННОЙ ЗАВИСИМОСТЬЮ ДЕФОРМАЦИИ ПРИ РАЗРУШЕНИИ ОТ НАПРЯЖЕНИЯ

A. M. Локощенко, С. А. Шестериков

(Москва)

Развитие экспериментальных и теоретических аспектов исследования ползучести и длительной прочности металлов идет все ускоряющимися темпами. Однако к настоящему времени накоплено относительно небольшое количество надежных экспериментальных данных, характеризующих ползучесть металлов вплоть до разрушения в широком диапазоне напряжений. Это объясняется серьезными трудностями, с которыми сталкиваются исследователи при измерении деформаций ползучести образцов, находящихся при постоянных напряжениях (или нагрузках) в условиях высоких температур в течение длительного времени (иногда многих тысяч часов). Поэтому часто такие испытания либо не доводятся до разрушения (т. е. длительная прочность не рассматривается), либо они проводятся до разрушения без замера деформаций в процессе ползучести. Ограниченност и разрозненность фактического материала приводят к тому, что вопрос о формулировке уравнений, описывающих ползучесть материала вплоть до разрушения, даже в случае одноосного напряженного состояния остается открытым.

Наиболее полной при описании процесса ползучести конструкционных металлов является концепция механического уравнения состояния Ю. Н. Работнова [1] с системой кинетических уравнений для определения параметров, характеризующих рассматриваемое состояние. Согласно этой концепции, скорость ползучести \dot{p} определяется напряжением σ , температурой и некоторым количеством структурных параметров, которые в процессе ползучести изменяются в соответствии с кинетическими уравнениями. При описании длительной прочности чаще всего используется структурный параметр $\omega(t)$, который является некоторой мерой «растяжимости» материала. Каждому состоянию «растяжимости» приписывается значение ω из диапазона $0 \leq \omega \leq 1$, при этом значение $\omega = 0$ условно соответствует неповрежденному материалу, значение $\omega = 1$ — наличию макроскопических трещин.

В случае, когда $\omega(t)$ — единственный структурный параметр, ползучесть материала вплоть до разрушения можно описать следующей системой уравнений:

$$(1) \quad \dot{p} = f(\sigma, \omega), \quad \dot{\omega} = \varphi(\sigma, \omega).$$

При описании ползучести, характеризуемой установившейся и ускоряющейся стадиями, чаще всего пользуются уравнениями (1) в виде простых зависимостей степенного типа:

$$(2) \quad \dot{p} = a\sigma^n(1 - \omega)^{-s};$$

$$(3) \quad \dot{\omega} = b\sigma^k(1 - \omega)^{-r}.$$

Коэффициенты a и b при неизменной температуре можно считать постоянными. Рассмотрим случай хрупкого разрушения, когда вследствие относительной малости деформаций можно пренебречь изменением площади